

УДК 547.422.4+547.466

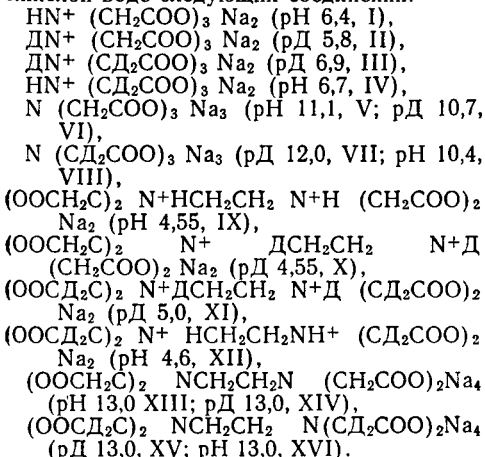
## ИК СПЕКТРЫ ВОДНЫХ РАСТВОРОВ НАТРИЕВЫХ СОЛЕЙ НИТРИЛОТРИУКСУСНОЙ И ЭТИЛЕНДИАМИНТЕТРАУКСУСНОЙ КИСЛОТ, ДЕЙТЕРИРОВАННЫХ ПО СВЯЗЯМ С—Н

И. А. ПОЛЯКОВА, Б. В. ЖАДАНОВ, А. В. ЧЕКУНОВ, Г. М. АДАМОВА  
(Кафедра физики)

Полиуксусные аминокислоты — нитрилтриуксусная (НТА), этилендиаминтетрауксусная (ЭДТА) — и их натриевые соли в настоящее время широко используются для аналитических, технологических, биохимических и других целей. Особый интерес представляют идентификация ионных форм НТА и ЭДТА и образуемых ими комплексов с катионами металлов в водных растворах, изучение строения этих комплексов, а также выяснение роли отмеченных соединений в различных химических процессах.

Одним из наиболее эффективных методов исследования аминокислот и их комплексов с металлами является ИК спектроскопия [1]. В литературе приводятся ИК спектры натриевых солей НТА и ЭДТА, в том числе дейтерированных по связям  $N^+-H$  [2, 3]. В то же время не описаны ИК спектры аналогичных соединений, дейтерированных по связям С—Н. Такие соединения и их спектры интересны в практическом отношении, поскольку полосы  $\nu_{C-D}$  в отличие от полос  $\nu_{C-H}$  не маскируются собственными полосами поглощения воды  $\nu_{OH}$ , следовательно, аминокислоты, меченные дейтерием по связям С—Н, можно легко идентифицировать с помощью ИК спектров их водных растворов.

Настоящая работа посвящена исследованию ИК спектров растворов в обычной и тяжелой воде следующих соединений:



ИК спектры соединений I, II, IX и X изучались ранее [4—6], в данном сообщении их спектры рассматриваются в сравнении со спектрами аналогов, дейтерированных по связям С—Н. Тем не менее приведенные ИК спектры соединений I и IX являются оригинальными, так как впервые с помощью специальной методики для них записана область 1600—1700  $\text{cm}^{-1}$  их растворов в  $H_2O$ . В этой области присутствует сильная полоса воды  $\nu_2$ , не позволяющая с помощью обычной техники получать неискаженные спектры.

### Экспериментальная часть

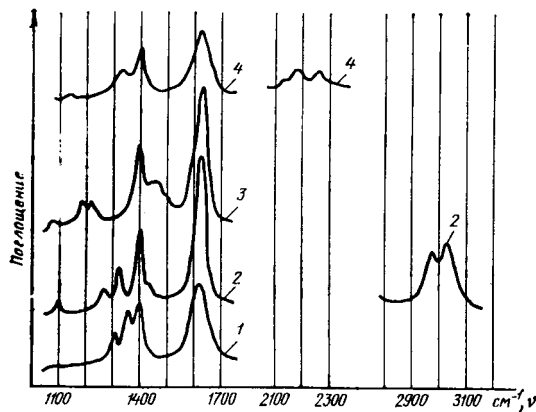
В работе использованы полностью дейтерированные по связям С—Н динатриевая соль НТА (степень дейтерирования >95%) и частично дейтерированная (только по связям  $CH_2$  групп —  $CH_2COO$ ) динатриевая соль ЭДТА. Соединения IV и XII получены соответственно из соединений III и XI путем их 2-кратной перекристаллизации в  $H_2O$ , тринатриевые соли НТА и тетранатриевые соли ЭДТА — из соответствующих динатриевых солей добавлением требуемых эквивалентов щелочи.

ИК спектры 0,25 M растворов указанных соединений в  $H_2O$  и  $D_2O$  записаны на инфракрасном спектрометре UR-20 с использованием флюоритовых кювет с регулируемой толщиной слоя. В области 1000—1800  $\text{cm}^{-1}$  растворы снимали при толщине слоя 10 мкм, в областях 2000—2500 ( $H_2O$ ) и 2700—3200  $\text{cm}^{-1}$  ( $D_2O$ ) при 100 мкм.

При получении спектров растворов в  $H_2O$  путем регулировки толщины слоя в кювете сравнения добивались полной компенсации собственного поглощения воды в области 1650  $\text{cm}^{-1}$ . Правильность компенсации проверяли по отсутствию полосы воды с максимумом 2130  $\text{cm}^{-1}$  ( $\nu_L + \nu_2$ ). Тяжелая вода содержала 99,8%  $D_2O$ . Значения рН (рД) растворов измеряли на pH-метре ЛПУ-01.

### Результаты и их обсуждение

ИК спектр водного раствора динатриевой соли НТА приведен на рисунке, а значения максимумов полос поглощения для натри-



ИК спектры водных растворов ( $\text{H}_2\text{O}$ ,  $\text{D}_2\text{O}$ ) динатриевых солей НТА.

1 —  $\text{HN}^+(\text{CH}_2\text{COO})_3\text{Na}_2$ , ( $\text{H}_2\text{O}$ ); 2 —  $\text{DN}^+$  ( $\text{CH}_2\text{COO})_3\text{Na}_2$ , ( $\text{D}_2\text{O}$ ); 3 —  $\text{DN}^+(\text{CD}_2\text{COO})_3\text{Na}_2$ , ( $\text{D}_2\text{O}$ ); 4 —  $\text{HN}^+(\text{CD}_2\text{COO})_3\text{Na}_2$ , ( $\text{H}_2\text{O}$ ).

евых солей НТА и ЭДТА и их отнесения — в табл. 1 и 2.

Отнесения частот  $\nu_{\text{s}}\text{COO}$  ( $1395—1410 \text{ см}^{-1}$ ),  $\nu_{\text{as}}\text{COO}$  ( $1580—1630 \text{ см}^{-1}$ ),  $\nu\text{C—N}$  ( $1050—1160 \text{ см}^{-1}$ ),  $\nu\text{C—H}$  ( $2800—3200 \text{ см}^{-1}$ ) сделаны на основании литературных данных [1, 7]. Следует отметить, что значения  $\nu\text{C—N}$  лежат в области скелетных колебаний, и сделанные отнесения нельзя считать достаточно строгими. Частоты  $\nu\text{C—D}$  ( $2100—2300 \text{ см}^{-1}$ ) отнесены на основании изотопного сдвига частот  $\nu\text{C—H}$ . Значения  $\nu\text{C—H}$ ,  $\nu\text{C—D}$ , рассчитанные на основании данных табл. 1 и 2, для соответствующих солей НТА и ЭДТА лежат в пределах 1,33—1,36, что достаточно близко к теоретическому значению, равному 1,40 [8].

Отсутствие полос в области  $1325—1335 \text{ см}^{-1}$  в спектрах III, IV, VII и VIII, дейтерированных по связям C—H, позволяет однозначно отнести полосы  $1329$ ,  $1330$  и  $1332 \text{ см}^{-1}$  соответственно в спектрах II, V, VI к деформационным колебаниям связей  $\text{CH}_2$  ( $\rho\text{CH}_2$ ) по аналогии со спектром глицерина [9]. В спектре I к  $\rho\text{CH}_2$  относится полоса  $1316 \text{ см}^{-1}$ .

В спектрах солей ЭДТА IX, X, XIII и XIV соответственно полосы  $1325$ ,  $1327$ ,  $1330$ ,  $1330 \text{ см}^{-1}$ , исчезающие в спектрах их дейтерированных аналогов, также относятся к  $\rho\text{CH}_2$ . В спектрах солей НТА и ЭДТА, дейтерированных по связям C—H, должны наблюдаться полосы  $\rho\text{CD}_2$  в области  $900—1000 \text{ см}^{-1}$ , однако эта область не регистрировалась, поскольку флюорит ниже  $1000 \text{ см}^{-1}$  непрозрачен.

Наличие полосы  $1362 \text{ см}^{-1}$  в спектре I, сдвигающейся в спектре II (аналога I, дей-

Таблица I

Волновые числа ( $\text{см}^{-1}$ ) максимумов поглощения в ИК спектрах водных растворов ди- и тринатриевых солей нитрилотриуксусной кислоты (I — VIII)

I $\text{H}_2\text{O}$ , рН 6,4	II $\text{D}_2\text{O}$ , рД 5,8	III $\text{D}_2\text{O}$ , рД 6,9	IV $\text{H}_2\text{O}$ , рН 6,7	V $\text{H}_2\text{O}$ , рН 11,1	VI $\text{D}_2\text{O}$ , рД 10,7	VII $\text{D}_2\text{O}$ , рД 12	VIII $\text{H}_2\text{O}$ , рН 10,4	Отнесение частот
1075 пл —	1078 пл —	1181 сп —	1073 пл —	—	—	1083 о. сл —	1083 о. сл —	$\nu\text{C—N}$ $\delta\text{N}^+—\text{D}$
1210 пл —	—	1218 сл —	—	1142 сл —	1143 сл —	—	—	$\nu\text{C—N}$
1268 о. сл 1270 сл —	—	—	—	1264 сл —	1266 сл —	1225 сл —	1220 сп —	
1316 сп —	1329 сп —	—	—	1306 пл —	1303 пл —	—	—	$\rho\text{CH}_2$
1362 с 1402 с 1432 пл —	—	—	1326 сп. ш 1393 с 1391 с —	1330 сп —	1332 сп —	—	—	$\delta\text{N}^+—\text{H}$ $\nu_{\text{s}}\text{COO}^-$
1402 с 1432 пл —	1400 с 1433 пл —	1393 с —	1391 с —	1403 с 1432 пл —	1405 с 1432 пл —	1395 с —	1395 с —	
1618 с. ш —	1627 о. с —	1622 о. с —	1615 с. ш 2262 пл 2182 сл	1582 с —	1591 с. ш —	1584 с. ш —	1575 с. ш —	$\nu_{\text{as}}\text{COO}^-$ $\nu\text{C—D}$
—	2697 с 3015 с —	—	—	—	2800 пл 2844 с 2916 с. ш	—	—	$\nu\text{C—H}$

Примечание. Здесь и в табл. 2: пл — плечо, о — очень, сл — слабая, сп — средняя, с — сильная, ш — широкая.

Таблица 2

Волновые числа ( $\text{см}^{-1}$ ) максимумов поглощения в ИК спектрах водных растворов ди- и тетранатриевых солей этилендиаминтетрауксусной кислоты (IX — XVI)

IX	X	XI	XII	XIII	XIV	XV	XVI	Отнесение частот
$\text{H}_2\text{O}$ , рН 4,55	$\text{D}_2\text{O}$ , рД 4,55	$\text{D}_2\text{O}$ , рД 5,0	$\text{H}_2\text{O}$ , рН 4,6	$\text{H}_2\text{O}$ , рН 13	$\text{D}_2\text{O}$ , рД 13	$\text{D}_2\text{O}$ , рД 13	$\text{H}_2\text{O}$ , рН 13	
—	1083 сл } 1119ср }	1149ср } 1165ср }	—	—	—	—	—	$\delta\text{N}^+ - \text{Д}$
1093 о. сл } 1209 сл }	—	1070 о. сл	1068 пл	1124 сл	1127ср	1159ср	1159ср	$\nu\text{C}-\text{N}$
—	—	—	1257 сл	1264 сл	1265 сл	—	1263 пл	
—	1277 сл	—	—	1288 сл	1289 сл	—	—	
1325ср	1327ср.ш	—	—	1330ср	1330ср	—	—	$\rho\text{CH}_2$
1359с	—	—	1345пл	—	—	—	—	$\delta\text{N}^+ - \text{Н}$
1404с	1403с	1394с	1395с	1407с	1409с	1398с	1397с	$\nu_s\text{COO}^-$
1435пл	1438ср	—	—	1440пл	1440пл	—	—	
—	—	1453ср	1454ср	—	—	1460пл	—	
1625с.ш	1628о.с	1623о.с	1618с.ш	1583с.ш	1587о.с	1583о.с	1576с.ш	$\nu_{as}\text{COO}^-$
—	—	—	2180пл } 2275сл }	—	—	—	2090ср } 2206ср }	$\nu\text{C}-\text{Д}$
—	2975сл } 3020ср }	—	—	—	2843с } 2890пл }	—	—	$\nu\text{C}-\text{Н}$
—	—	—	—	—	2964ср	—	—	

терированного по связи  $\text{N}^+ - \text{H}$ ) к  $1097 \text{ см}^{-1}$ , обусловлено деформационными колебаниями  $\delta\text{N}^+ - \text{H}$ . В спектре IX к  $\delta\text{N}^+ - \text{H}$  относится полоса с максимумом  $1359 \text{ см}^{-1}$ . Замена связей  $\text{N}^+ - \text{H}$  на  $\text{N}^+ - \text{Д}$  приводит к исчезновению полосы  $1359 \text{ см}^{-1}$  и появлению дублета 1083 и  $1119 \text{ см}^{-1}$ , относящегося к  $\delta\text{N}^+ - \text{Д}$ .

В спектрах I и IV, содержащих связи  $\text{N}^+ - \text{H}$  и отличающихся наличием групп  $\text{CH}_2$  (I) и  $\text{CD}_2$  (IV), полосы  $\delta\text{N}^+ - \text{H}$  заметно различаются по положению максимумов поглощения и интенсивности. Замена групп  $\text{CH}_2$  на  $\text{CD}_2$  приводит к длинноволновому сдвигу  $\delta\text{N}^+ - \text{H}$  на  $36 \text{ см}^{-1}$  и значительному уменьшению интенсивности. В то же время полоса  $\delta\text{N}^+ - \text{Д}$  в спектре III по сравнению с аналогичной полосой в спектре II смещается в коротковолновую область.

Эти данные позволяют сделать вывод о существенном взаимодействии колебаний  $\delta\text{N}^+ - \text{H}$  с  $\rho\text{CH}_2$  ( $\rho\text{CD}_2$ ) в спектрах I и IV и  $\delta\text{N}^+ - \text{Д}$  с  $\rho\text{CH}_2$  ( $\rho\text{CD}_2$ ) в спектрах II и III.

Отношения  $\frac{\delta\text{N}^+ - \text{H}(\text{I})}{\delta\text{N}^+ - \text{Д}(\text{II})}$  и  $\frac{\delta\text{N}^+ - \text{H}(\text{IV})}{\delta\text{N}^+ - \text{Д}(\text{III})}$

равны соответственно 1,24 и 1,12, что указывает на значительно большую степень взаимодействия  $\delta\text{N}^+ - \text{H}$  с  $\rho\text{CD}_2$ , чем  $\delta\text{N}^+ - \text{H}$  с  $\rho\text{CH}_2$ . Аналогичные выводы следуют из сравнения спектров солей ЭДТА с  $\text{CH}_2$  (IX, X) и  $\text{CD}_2$  группами (XI, XII). Необходимо отметить, что в спектрах солей ЭДТА в отличие от спектров солей НТА полосы  $\delta\text{N}^+ - \text{Д}$  наблюдались в виде дублета. Большая величина отношения

$\frac{\delta\text{N}^+ - \text{H}(\text{IX})}{\delta\text{N}^+ - \text{Д}(\text{X})} = 1,23$  по сравнению с

$\frac{\delta\text{N}^+ - \text{H}(\text{XII})}{\delta\text{N}^+ - \text{Д}(\text{XI})} = 1,16$  свидетельствует о

более значительном взаимодействии  $\delta\text{N}^+ - \text{H}$  с  $\rho\text{CD}_2$ , чем  $\delta\text{N}^+ - \text{H}$  с  $\rho\text{CH}_2$ , как и в случае

соответствующих солей НТА (величина  $\delta\text{N}^+ - \text{Д}$  дублетов взята как средняя арифметическая).

Замена групп  $\text{CH}_2$  на  $\text{CD}_2$  в солях ЭДТА приводит к уменьшению интенсивности полосы  $\delta\text{N}^+ - \text{H}$ , длинноволновому сдвигу ее в спектрах IX и XII и смещению в коротковолновую область, а также к увеличению интенсивности полос  $\delta\text{N}^+ - \text{Д}$  в спектрах X и XI, т. е. поведение полос  $\delta\text{N}^+ - \text{H}$  и  $\delta\text{N}^+ - \text{Д}$  аналогично таковому у солей НТА.

Важно подчеркнуть, что полосы  $\delta\text{N}^+ - \text{H}$  характерны только для фрагментов  $\text{H}-\text{N}^+-\text{CH}_2\text{COO}^-$  аминокислот, так как в спектрах аминофосфоновых кислот с фрагментами  $\text{H}-\text{N}^+-\text{CH}_2\text{PO}_3^{2-}$  полос  $\delta\text{N}^+ - \text{H}$  в области  $1200 - 1500 \text{ см}^{-1}$  не наблюдалась [10].

Представляет интерес сравнить полосы  $\nu_s\text{COO}$  и  $\nu_{as}\text{COO}$  в спектрах одних и тех же соединений в растворах  $\text{H}_2\text{O}$  и  $\text{D}_2\text{O}$ . До последнего времени полосы  $\nu_s\text{COO}$  и  $\nu_{as}\text{COO}$  аминокислот регистрировались только для растворов в тяжелой воде, поскольку предполагалось, что замена  $\text{H}_2\text{O}$  на  $\text{D}_2\text{O}$  не приводит к существенному изменению значений  $\nu_s\text{COO}$  и  $\nu_{as}\text{COO}$  [1]. Как видно из табл. 1 и 2 и рисунка, замена обычной воды на тяжелую для одних и тех же соединений НТА и ЭДТА практически не влияет на  $\nu_s\text{COO}$  и приводит к значительному сужению и сдвигу  $\nu_{as}\text{COO}$  в коротковолновую область (на  $3 - 9 \text{ см}^{-1}$ ). Значения  $\nu_{as}\text{COO}$  в спектрах солей аминокислот и их комплексов с металлами часто используются для различных корреляций с прочностью связей  $\text{COO}-\text{Ме}$ . Полученные в настоящей работе результаты указывают на необходимость соблюдения определенной осторожности при нахождении корреляций с использованием значений  $\nu_{as}\text{COO}$  только из спектров растворов в тяжелой воде.

## ЛИТЕРАТУРА

1. Григорьев А. И., Митрофанова Н. Д., Мартыненко Л. И. Исследование некоторых нитрилотриацетатов методом ИК спектроскопии. Журн. неорг. химии, 1965, т. 10, с. 1408—1412.—2. Григорьев А. И., Пруткова Н. М., Митрофанова Н. Д., Мартыненко Л. И., Спицин В. И. Исследование средних иминодиацетатов некоторых металлов методом ИК спектроскопии. — Докл. Акад. наук СССР, 1965, т. 161, с. 839—842.—3. Жаданов Б. В., Карапкин А. В. Инфракрасные спектры водных растворов некоторых аминокислот. — Биофизика, 1967, т. 12, № 6, с. 1084.—4. Жаданов Б. В., Дятлов Н. М. Исследование кислотной диссоциации этилендиамин-N,N,N',N'-тетраметилfosfonовой и этилендиамин-N,N'-диуксусной-N,N' - диметилfosfonовой кислот в водных растворах методом ИК спектроскопии. — Журн. физ. химии, 1969, т. 43, № 3, с. 744—747.—5. Казицина Л. А., Куплетская Н. Б. Применение УФ, ИК и ЯМР спектроскопии в органической химии. М., «Высшая школа», 1971.—6. Накамото К. Инфракрасные спектры неорганических и координационных соединений. М., «Мир», 1966.—7. Nakamoto K., Marimoto Y., Martell A.—J. Amer. Soc., 1962, vol. 84, p. 2081—2084.—8. Nakamoto K., Marimoto Y., Martell A.—J. Amer. Soc., 1963, vol. 85, p. 309—312.—9. Novak A., Cotrait M., Jcussot-Dubien J., Lascombe J.—Inorgan. Chem., 1963, vol. 4, p. 767—769.—10. Sudzuki S., Schimonouchi T., Tsuboi M.—Spectrochim. Acta, 1963, vol. 19, p. 1195—1203.

Статья поступила 18 декабря 1978 г.

## SUMMARY

IS-spectra of aqueous solutions of disodium and trisodium salts of nitrilo-triacetic (NTA) and disodium and tetrasodium salts of ethylene-diamino-tetraacetic (EDTA) acids as well as their C-H deuterated analogs have been investigated over the range of 1000—3200  $\text{cm}^{-1}$ . Considerable effect of the deuteration of  $\text{CH}_2$  groups on  $\delta\text{N}^+-\text{H}$  bands in the protonated salts of NTA and EDTA spectra has been revealed.

$\nu_{\text{s}}$  COO bands in the spectra of the same salts remain practically unchanged during the transition from the solutions in  $\text{D}_2\text{O}$  to the solutions in  $\text{H}_2\text{O}$ , and  $\nu_{\text{as}}$ COO bands considerably widen and shift by 3—9  $\text{cm}^{-1}$  into the longwavelength region.